

厦门大学新世纪教材大系

结构化学

厦门大学化学系物构组 编
林梦海 林银钟 执笔

新

世

纪

教

材

大

系

 科学出版社
www.sciencep.com

厦门大学新世纪教材大系

结 构 化 学

厦门大学化学系物构组 编

林梦海 林银钟 执笔

张乾二 审定

科 学 出 版 社

北 京

内 容 简 介

本书以卢嘉锡先生于20世纪50年代为厦门大学开设的“物质结构”内容为蓝本,汇集了几代人的教学经验,既保留了经典的结构化学内容,又注重吸收最新的科研成果。内容主要包括量子力学基础,原子结构,分子的对称性,双原子分子、多原子分子结构,晶体学基础,金属与合金、离子晶体结构等内容。本书的特点一是突出重点,基础概念阐述清楚;二是围绕难点,联系化学现象或化学概念,做到深入浅出。此外,本书还配有习题及部分参考答案,便于学习。

本书可作为高等院校化学、材料化学、生物化学、药物化学等专业本科生的教学用书。

图书在版编目(CIP)数据

结构化学/厦门大学化学系物构组编. —北京:科学出版社,2004
(厦门大学新世纪教材大系)

ISBN 7-03-013328-5

I. 结… II. 厦… III. 结构化学-高等学校-教材 IV. O641

中国版本图书馆CIP数据核字(2004)第043103号

责任编辑:王志欣 刘俊来 吴伶俐 / 责任校对:包志虹

责任印制:安春生 / 封面设计:陈 敬

科学出版社 出版

北京东黄城根北街16号

邮政编码:100717

<http://www.sciencep.com>

丽源印刷厂 印刷

科学出版社发行 各地新华书店经销

*

2004年8月第 一 版 开本:720×1000 1/16

2004年8月第一次印刷 印张:20 3/4 插页:2

印数:1—2 500

字数:388 000

定价:28.00元

(如有印装质量问题,我社负责调换〈环伟〉)

前 言

结构化学(原称“物质结构”)是卢嘉锡先生于 20 世纪 50 年代从国外归来后,为厦门大学化学系开设的一门基础课。他精心组织教材,撰写教案,并建立模型实验室,使学生受益匪浅。以后,张乾二教授接班讲授“物质结构”。60 年代,他们编写讲义并在厦门大学开办“物质结构”研讨班,为全国培养了一批结构化学人才。60~90 年代,林连堂、胡盛志、施彼得、王银桂等教授先后讲授“结构化学”,不断丰富与完善教学内容。近年,中青年教师执教,又增添了一些新的科研成果。本书是根据厦门大学半个世纪的教学积累,并吸收兄弟院校优秀教材的精华编写而成的。

结构化学是一门在原子、分子水平上讨论物质微观结构的课程。它以量子化学为基础,结合无机化学、有机化学的实验事实,讨论原子、分子的化学键理论。主要内容包括四大部分:量子力学基础、原子结构、分子结构(双原子、多原子分子)、晶体结构(金属、离子晶体)。通过学习使学生了解:“化学键决定结构,结构决定性质”,从而在高层次上解释各种化学现象。

本书在编写过程中不仅注意描述的科学严密性,还注意内容的时代性。在分子结构中加入了 Hückel 图形理论、团簇纳米结构。固态结构主要介绍晶体结构,也适当介绍了准晶、非晶结构特点,还增加一些功能材料的结构介绍。本书中某些内容如“群的表示理论”、“配位场强场弱场方案”等,可能超过教学大纲要求,可作为学生加深原理解、拓宽知识面的选学内容。

本书教材部分除 7.4 节、7.5 节为谢兆雄编写外,其余均由林梦海执笔编写,习题部分由林银钟编写。全书由张乾二先生审定。编写过程中文字输入得到王艺平、夏飞、李春生、林玉春等研究生的帮助,图片绘制得到洪家岁、王娴、曹志霖、柯宏伟等研究生大力支持。多媒体光盘由陈明旦老师率王艺平、林玉春、李春生、蔡巍、洪家岁、林红、魏赞斌等同志制作。编写过程中还得到科学出版社王志欣、刘俊来同志的大力支持,在此一并表示感谢。

由于执笔者水平有限,且时间仓促,定有不少失误,恳请同行批评指正。

林梦海 林银钟
2004 年 1 月于厦门

目 录

前言

| | |
|------------------------------------|----|
| 第 1 章 量子力学基础 | 1 |
| 1.1 量子力学的诞生 | 1 |
| 1.1.1 19 世纪末的物理学 | 1 |
| 1.1.2 三个重要实验..... | 1 |
| 1.1.3 德布罗意物质波..... | 4 |
| 1.1.4 “测不准”关系..... | 5 |
| 1.2 量子力学的基本假设 | 7 |
| 1.2.1 假设 I——状态波函数和概率..... | 7 |
| 1.2.2 假设 II——力学量与线性自共轭算符..... | 9 |
| 1.2.3 假设 III——Schrödinger 方程 | 10 |
| 1.2.4 假设 IV——态叠加原理 | 11 |
| 1.2.5 假设 V——Pauli 不相容原理 | 13 |
| 1.3 量子力学的简单应用 | 13 |
| 1.3.1 一维势箱中的自由粒子 | 13 |
| 1.3.2 三维势箱中的自由粒子 | 16 |
| 1.3.3 应用 | 17 |
| 1.4 量子力学的一些基本概念..... | 19 |
| 1.4.1 全同粒子 | 19 |
| 1.4.2 表象 | 20 |
| 1.4.3 隧道效应 | 20 |
| 1.4.4 维理定理 | 22 |
| 习题 1 | 23 |
| 参考文献 | 24 |
| 第 2 章 原子结构 | 26 |
| 2.1 类氢离子的 Schrödinger 方程 | 26 |
| 2.1.1 引言 | 26 |
| 2.1.2 变数分离 | 28 |
| 2.1.3 解 Φ 方程..... | 28 |

| | | |
|--------------|-----------------------|-----------|
| 2.1.4 | Θ 方程的解 | 29 |
| 2.1.5 | R 方程的解 | 30 |
| 2.2 | 类氢离子波函数及轨道能级 | 31 |
| 2.2.1 | 量子数的物理意义 | 31 |
| 2.2.2 | 主量子数 n 与能级 | 33 |
| 2.2.3 | 径向分布函数 | 34 |
| 2.2.4 | 角度分布函数 | 37 |
| 2.3 | 多电子原子的结构 | 41 |
| 2.3.1 | 核外电子排布与电子组态 | 41 |
| 2.3.2 | 中心力场近似和自洽场方法 | 43 |
| 2.3.3 | 电离能与电子亲和能 | 44 |
| 2.3.4 | 电负性 | 47 |
| 2.4 | 原子光谱项 | 48 |
| 2.4.1 | 定义 | 48 |
| 2.4.2 | 原子光谱项的推导 | 50 |
| 2.4.3 | 组态的能级分裂 | 52 |
| 2.4.4 | 基态光谱项 | 53 |
| | 习题 2 | 55 |
| | 参考文献 | 56 |
| 第 3 章 | 分子对称性与点群 | 57 |
| 3.1 | 对称元素与点群 | 57 |
| 3.1.1 | 对称性、对称操作与对称元素 | 57 |
| 3.1.2 | 旋转轴与转动 | 59 |
| 3.1.3 | 对称面与反映 | 60 |
| 3.1.4 | 对称心和反演 | 60 |
| 3.1.5 | 映转轴和旋转反映 | 61 |
| 3.1.6 | 对称点群 | 61 |
| 3.2 | 分子对称点群 | 64 |
| 3.2.1 | 对称点群分类 | 64 |
| 3.2.2 | C_n 群 | 64 |
| 3.2.3 | C_{nv} 群 | 65 |
| 3.2.4 | C_{nh} 群 | 66 |
| 3.2.5 | D_n 群 | 67 |
| 3.2.6 | D_{nh} 群 | 68 |

| | | |
|--------------|--------------------------------------|-----|
| 3.2.7 | D_{nd} 群 | 70 |
| 3.2.8 | S_n 群 | 71 |
| 3.2.9 | 高阶群 | 72 |
| 3.2.10 | 分子点群的判别 | 77 |
| 3.3 | 群的表示理论 | 79 |
| 3.3.1 | 可约表示与不可约表示 | 79 |
| 3.3.2 | 特征标表 | 80 |
| 3.3.3 | 应用 | 82 |
| 3.4 | 分子对称性与旋光性偶极矩 | 84 |
| 3.4.1 | 分子旋光性 | 84 |
| 3.4.2 | 分子的偶极矩 | 86 |
| 习题 3 | | 89 |
| 参考文献 | | 91 |
| 第 4 章 | 双原子分子 | 92 |
| 4.1 | 化学键理论简介 | 92 |
| 4.1.1 | 原子间相互作用力 | 92 |
| 4.1.2 | 化学键理论 | 92 |
| 4.1.3 | 结构与性质的关系 | 94 |
| 4.2 | 变分法与 H_2^+ 分子结构 | 94 |
| 4.2.1 | H_2^+ 的结构和共价键的本质 | 94 |
| 4.2.2 | 变分法解 Schrödinger 方程 | 95 |
| 4.2.3 | H_{aa} 、 H_{ab} 、 S_{ab} 的物理意义 | 98 |
| 4.3 | 分子轨道理论和双原子分子结构 | 99 |
| 4.3.1 | 分子轨道理论 | 99 |
| 4.3.2 | 双原子分子轨道的特点 | 100 |
| 4.3.3 | 同核双原子分子 | 103 |
| 4.3.4 | 异核双原子分子 | 105 |
| 4.4 | 价键理论和 H_2 分子结构 | 108 |
| 4.4.1 | 价键理论 | 108 |
| 4.4.2 | H_2 的价键处理 | 108 |
| 习题 4 | | 111 |
| 参考文献 | | 112 |
| 第 5 章 | 多原子分子结构(一) | 113 |
| 5.1 | 杂化轨道理论 | 113 |

| | | |
|--------------|--------------------|------------|
| 5.1.1 | 杂化轨道 | 113 |
| 5.1.2 | 杂化轨道的方向 | 114 |
| 5.1.3 | 成键能力 | 115 |
| 5.1.4 | 应用 | 116 |
| 5.2 | 价电子互斥理论 | 119 |
| 5.3 | 离域 π 键 | 121 |
| 5.3.1 | 一般 π 键 | 121 |
| 5.3.2 | 离域 π 键 | 121 |
| 5.3.3 | 共轭效应 | 123 |
| 5.4 | HMO 方法 | 124 |
| 5.4.1 | HMO 方法简介 | 124 |
| 5.4.2 | 丁二烯的 HMO 处理 | 125 |
| 5.4.3 | 电荷集居与分子图 | 127 |
| 5.4.4 | 环烯烃体系 | 128 |
| 5.5 | 分子轨道先定系数法 | 130 |
| 5.5.1 | 介绍 | 130 |
| 5.5.2 | 直链偶分子 | 132 |
| 5.5.3 | 直链奇分子 | 133 |
| 5.5.4 | 共轭环链之一 | 134 |
| 5.5.5 | 共轭环链之二 | 136 |
| 5.5.6 | 复杂共轭体系 | 137 |
| 5.6 | 共价键能与半径 | 139 |
| 5.6.1 | 共价键键能 | 139 |
| 5.6.2 | 键长和共价半径 | 140 |
| 5.6.3 | 范德华半径 | 141 |
| 5.7 | 前线轨道理论和轨道对称守恒原理 | 143 |
| 5.7.1 | 前线轨道理论 | 143 |
| 5.7.2 | 分子轨道对称守恒原理 | 144 |
| | 习题 5 | 149 |
| | 参考文献 | 150 |
| 第 6 章 | 多原子分子结构(二) | 151 |
| 6.1 | 缺电子多中心键 | 151 |
| 6.1.1 | 硼烷的结构 | 151 |
| 6.1.2 | B_nH_{n+m} 的拓扑结构 | 152 |

| | | |
|--------------|-------------------------------|------------|
| 6.1.3 | 封闭硼笼 $B_nH_n^{2-}$ 与 Wade 规则 | 153 |
| 6.1.4 | 其他缺电子多中心键 | 154 |
| 6.2 | 配合物的化学键 | 156 |
| 6.2.1 | 简介 | 156 |
| 6.2.2 | σ 键配合物的结构 | 157 |
| 6.2.3 | 金属羰基配合物(σ - π 配键) | 159 |
| 6.2.4 | 烯烃配位化合物 | 160 |
| 6.3 | 配位场理论 | 161 |
| 6.3.1 | 中心离子电子组态的谱项 | 162 |
| 6.3.2 | 原子轨道在不同环境中的能级分裂 | 163 |
| 6.3.3 | 弱场方案 | 165 |
| 6.3.4 | 强场方案 | 165 |
| 6.4 | 过渡金属原子簇化合物 | 168 |
| 6.4.1 | 簇合物中 M-M 间多重键 | 168 |
| 6.4.2 | 金属簇合物的几何构型与电子计数法 | 169 |
| 6.5 | 原子团簇 | 170 |
| 6.5.1 | 富勒烯碳笼 | 171 |
| 6.5.2 | 碳纳米管 | 173 |
| 6.6 | 次级键 | 175 |
| 6.6.1 | 非金属原子间次级键 | 176 |
| 6.6.2 | 非金属原子与金属原子间次级键 | 176 |
| 6.6.3 | 金属原子间次级键 | 177 |
| 6.7 | 氢键 | 178 |
| 6.7.1 | 氢键产生的条件和影响 | 178 |
| 6.7.2 | 几种重要化合物的氢键 | 180 |
| | 习题 6 | 184 |
| | 参考文献 | 186 |
| 第 7 章 | 晶体学基础 | 187 |
| 7.1 | 晶体结构的周期性和点阵 | 187 |
| 7.1.1 | 晶体及其性质 | 187 |
| 7.1.2 | 周期性与点阵结构 | 189 |
| 7.1.3 | 实际晶体 | 192 |
| 7.2 | 晶体的宏观对称性 | 193 |
| 7.2.1 | 晶面 | 193 |

| | | |
|------------|----------------------|------------|
| 7.2.2 | 7个晶系 | 195 |
| 7.2.3 | 14种空间点阵形式 | 196 |
| 7.2.4 | 32个晶体学点群 | 197 |
| 7.3 | 晶体的微观结构 | 199 |
| 7.3.1 | 晶体结构的对称元素和对称操作 | 199 |
| 7.3.2 | 晶胞 | 202 |
| 7.3.3 | 空间群 | 202 |
| 7.4 | X射线晶体衍射 | 204 |
| 7.4.1 | 引言 | 204 |
| 7.4.2 | X射线的产生 | 205 |
| 7.4.3 | 衍射方向 | 205 |
| 7.4.4 | 衍射强度 | 208 |
| 7.4.5 | 倒易点阵与反射球 | 209 |
| 7.4.6 | 系统消光 | 210 |
| 7.4.7 | X射线相干散射简介 | 211 |
| 7.5 | X射线衍射的应用 | 214 |
| 7.5.1 | 单晶衍射法 | 214 |
| 7.5.2 | 多晶衍射法 | 216 |
| 7.5.3 | 应用 | 217 |
| | 习题7 | 221 |
| | 参考文献 | 224 |
| 第8章 | 金属和合金结构 | 225 |
| 8.1 | 金属键理论 | 225 |
| 8.1.1 | 自由电子模型 | 225 |
| 8.1.2 | 能带理论 | 226 |
| 8.2 | 等径球密堆积 | 229 |
| 8.2.1 | 等径球密堆积 | 229 |
| 8.2.2 | 密堆与空隙 | 230 |
| 8.3 | 金属单质结构 | 233 |
| 8.3.1 | 金属单质结构 | 233 |
| 8.3.2 | 金属原子半径 | 234 |
| 8.4 | 合金的结构 | 236 |
| 8.4.1 | 金属固溶体 | 237 |
| 8.4.2 | 金属化合物 | 238 |

| | |
|-------------------------------|------------|
| 8.4.3 金属间隙化合物 | 240 |
| 8.5 准晶 | 241 |
| 8.5.1 准晶的发现 | 241 |
| 8.5.2 各种准晶 | 243 |
| 8.5.3 二十面体密堆 | 245 |
| 8.6 非晶态合金 | 246 |
| 8.6.1 简介 | 246 |
| 8.6.2 非晶态合金的结构特征 | 247 |
| 8.6.3 非晶态合金的制备与分类 | 248 |
| 8.6.4 性能与应用 | 249 |
| 8.7 液晶 | 250 |
| 8.7.1 液晶的定义与分类 | 250 |
| 8.7.2 液晶的结构特点 | 251 |
| 8.7.3 液晶的应用 | 253 |
| 习题 8 | 253 |
| 参考文献 | 255 |
| 第 9 章 离子化合物 | 257 |
| 9.1 晶格能 | 257 |
| 9.1.1 晶格能的静电模型 | 257 |
| 9.1.2 晶格能的热力学模型 | 259 |
| 9.2 几种典型的二元离子晶体结构 | 259 |
| 9.2.1 NaCl 型 | 260 |
| 9.2.2 CsCl 型 | 260 |
| 9.2.3 ZnS 型 | 260 |
| 9.2.4 CaF ₂ 型 | 261 |
| 9.2.5 TiO ₂ (金红石)型 | 262 |
| 9.3 离子半径 | 263 |
| 9.3.1 引言 | 263 |
| 9.3.2 离子半径与周期表 | 264 |
| 9.3.3 离子堆积规则 | 266 |
| 9.4 离子极化 | 267 |
| 9.4.1 离子极化的概念 | 267 |
| 9.4.2 离子极化对结构的影响 | 268 |
| 9.5 多元离子化合物 | 271 |

| | |
|-------------------------------|-----|
| 9.5.1 主要多元离子化合物 | 271 |
| 9.5.2 Pauling 规则 | 272 |
| 9.5.3 硅酸盐的结构 | 274 |
| 9.6 功能材料晶体 | 275 |
| 9.6.1 高温超导晶体 | 275 |
| 9.6.2 非线性光学晶体 | 278 |
| 9.6.3 磁性材料 | 280 |
| 9.6.4 功能转化材料 | 282 |
| 习题 9 | 283 |
| 参考文献 | 285 |
| 附录 | 286 |
| 附录 1 实习 | 286 |
| 附录 2 单位、物理常数和换算因子 | 290 |
| 附录 3 原子轨道能级/ R (实验测定) | 293 |
| 附录 4 32 个晶体学点群极射赤道平面投影图 | 294 |
| 附录 5 点群特征标表 | 296 |
| 附录 6 晶体的 230 个空间群的记号 | 307 |
| 附录 7 国际晶体结构数据库概况 | 309 |
| 附录 8 部分习题参考答案 | 312 |

第 1 章 量子力学基础

1.1 量子力学的诞生

1.1.1 19 世纪末的物理学

经典物理学发展到了 19 世纪末,已形成一个相当完善的体系。在机械力学方面有牛顿(Newton)三大定律,热力学方面有吉布斯(Gibbs)理论,电磁学方面有麦克斯韦(Maxwell)方程统一解释电、磁、光等现象,而统计方面有玻耳兹曼(Boltzmann)的统计力学。当时物理学家很自豪地说,物理学的问题基本解决了,一般的物理现象都可以从以上某一学说获得解释。惟独有几个物理实验还没找到解释的途径,而恰恰是这几个实验为我们打开了一扇通向微观世界的大门。

1.1.2 三个重要实验

1. 黑体辐射

一个几乎吸收全部入射光线辐射的表面称黑体表面。带小孔的空腔可作为黑体表面的一个例子,它几乎完全吸收入射辐射。通过小孔进去的光线碰到内表面时部分吸收,部分漫反射,反射光线再次被部分吸收和部分漫反射……只有很小部分入射光有机会再从小孔中出来,如图 1-1 所示。

19 世纪末,人们已对黑体辐射实验进行了仔细测量,发现辐射强度对腔壁温度 T 的依赖关系,各种温度在不同波长 λ_{\max} 处有一极大值(图 1-2)。根据维恩(Wien)定律 $\lambda_{\max} T = C_0$,辐射强度与腔壁形状和材料无关。但还需要找出用波长与温度来表达能量的表达式。

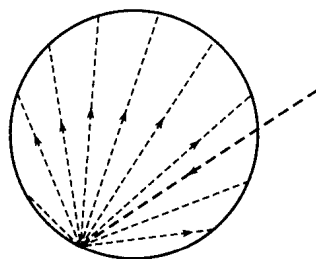


图 1-1 黑体辐射示意图

1900 年 12 月 14 日,普朗克(Plank)在德国物理学会的一次会议上提出了黑体辐射定律的推导。在推导辐射强度作为波长和温度函数的理论表达式时,普朗克做了一个特别基本的假定,从而背离了经典物理学。这个假定的精髓可以说明如下:一个自然频率为 ν 的振子只能取得或释放成包的能量,每包的大小为 $E = h\nu$,这里的 h 是一个自然界的新的基本常数。根据这一假定,Plank 推导出一个表达式:

$$\frac{\lambda_{\max}}{c} \times kT = \frac{C_0}{c} k = 0.2014h \quad (1-1)$$

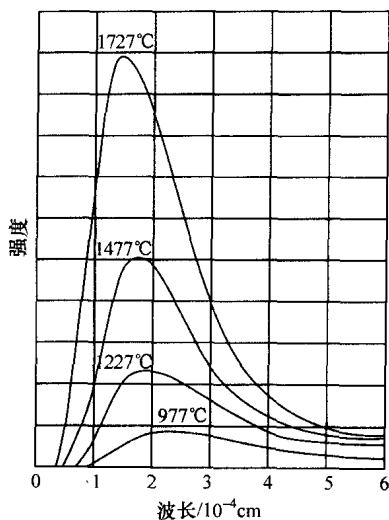


图 1-2 辐射强度对温度的依赖

量。

2. 光电效应

物理学家进行的光电实验,装置如图 1-3 所示。

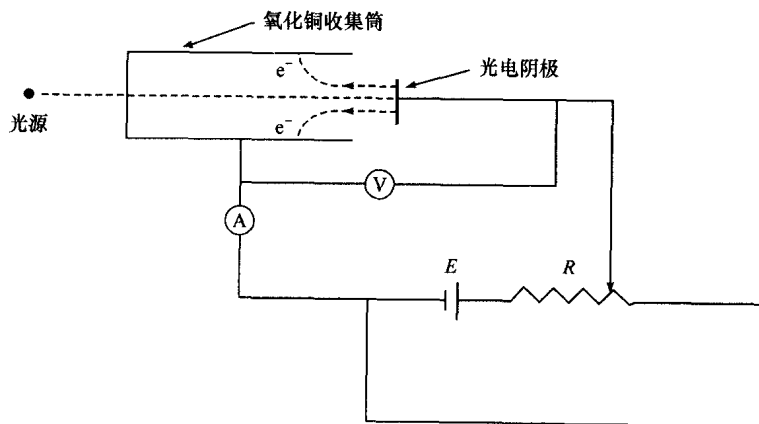


图 1-3 光电效应示意图

Plank 本人在接受这个背离经典物理学的假定时是非常勉强的。在他做出伟大的发现之后,还一直试图在经典力学基础上解释黑体辐射现象。关于这些无效的努力,他后来说他并不认为它们是无用劳动,由于反复失败,才使他最后相信:不可能在经典物理学内求得说明。

Plank 辐射定律完整的光辉形式表达如下

$$E(\lambda, T) = \left(\frac{8\pi hc}{\lambda^5} \right) \times \frac{1}{\exp(hc/\lambda kT) - 1} \quad (1-2)$$

式中: $E(\lambda, T)$ 是黑体腔内在温度 T 和波长 λ 处单位波长间隔中的辐射能密度; k 是 Boltzmann 常量; c 是光速; h 是一个新的自然常量, 等于 $6.626 \times 10^{-34} \text{J} \cdot \text{s}$, 后人称之为 Plank 常

光照射在金属表面,某些时候有电子从表面逸出。使人惊奇的是:逸出电子的动能与光的强度无关,但却以非常简单的方式依赖于频率。当我们增大光的强度,只增加了单位时间内发射的电子数,但不会增加电子的能量。经典力学难以解释。1905年,爱因斯坦(Einstein)提出,如果光的行为是一束粒子流,每个光子具有能量 $h\nu$ (ν 为频率),则以上结果可以解释。他预计从金属表面逸出的电子动能可用式(1-3)计算:

$$\frac{1}{2}mv^2 = h\nu - W \quad (1-3)$$

式中, W 是一个电子逸出表面所需最低能量(也称功函数)。这种解释被实验所证实。

众所周知,早在17世纪对光的本性有 Newton 的微粒说与惠更斯(Huygens)的波动说。由于光的衍射与干涉现象,波动说一度占上风。Einstein 又提出光子说,即光是波粒二象性的,圆满地解释了光电效应。光子学说的内容如下:

(1) 光是一束光子流,每一种频率的光的能量都有一个最小单位,称为光子,光子的能量与光子的频率成正比,即

$$\epsilon = h\nu \quad (1-4)$$

式中: h 为 Planck 常量; ν 为光子的频率。

(2) 光子不但有能量,还有质量(m),但光子的静止质量为零。按相对论的质能联系定律,即

$$\epsilon = mc^2 \quad (1-5)$$

光子的质量为 $m = h\nu/c^2$,所以不同频率的光子有不同的质量。

(3) 光子具有一定的动量(P), $P = mc = h\nu/c = h/\lambda$,光子有动量在光压的实验中得到证实。

(4) 光的强度取决于单位体积内光子的数目,即光子密度。

光子说能解释实验观测的结果:当 $h\nu < W$ 时,电子没有足够能量逸出金属表面,不发生光电效应; $h\nu = W$ 时,光子的频率 ν 为产生光电效应的临界频率; $h\nu > W$ 时,金属中逸出电子具有一定动能,它随 ν 的增加而增加。

Planck 黑体辐射与 Einstein 的光电效应联系起来,称 Planck-Einstein 关系式,即

$$E = h\nu = \frac{hc}{\lambda} \quad (1-6)$$

3. 原子光谱

1911年,卢瑟福(Rutherford)提出原子结构模型,原子由原子核与电子组成,原子核是一个很小的带正电的核,电子带负电绕核旋转。按照经典力学,原子不可

能是一个静止体系,电子与核的电场相互作用,不断辐射能量,最后将螺旋状地落入原子核。但从原子光谱观察,在没有外力作用时,原子不发生辐射;受到光、电等作用时,原子也只发射自己特有的频率,不会连续辐射。

氢原子在可见光区观察到四种波长的谱线(图 1-4),以后又发现红外、紫外区的其他谱线。巴尔麦(Balmer)、里德伯(Rydberg)等发现它们符合式(1-7):

$$\frac{1}{\lambda} = R \left(\frac{1}{n_1^2} - \frac{1}{n_2^2} \right) \quad (n_i = 1, 2, \dots) \quad (1-7)$$

式中, R 为 Rydberg 常量。

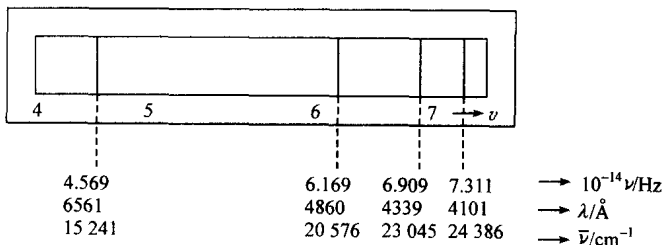


图 1-4 氢原子可见光区谱线

为了解释原子光谱,1913年玻尔(Bohr)提出原子结构理论,该理论基于经典力学。为了解释电子不致落入原子核,Bohr引入一个量子条件——电子所处的轨道是一些特别的轨道,只有吸收或放出能量与 Plank-Einstein 关系式相符,电子才能从一个轨道跃迁到另一个轨道。

1.1.3 德布罗意物质波

Einstein 为了解释光电效应提出了光子说,即光子是具有波粒二象性的微粒,这一观点在科学界引起很大震动。1924年,年轻的法国物理学家德布罗意(de Broglie)由此受到启发,大胆提出这种现象不仅对光的本性如此,而且也可能适用于其他微粒。他说,“整个世纪来,在光学上,比起波动研究方法,是过于忽略了粒子的研究方法;在实理论上,是否发生了相反的错误呢?是不是我们把粒子的图像想得太多,而忽略了波的图像?”从这种思想出发,de Broglie 假定,适合光子的 $E = h\nu$ 和 $\lambda = \frac{h}{p}$,也适用于电子和其他实物微粒。根据这些公式,de Broglie 预言电子的波长在 10^{-10} m 数量级。

1927年,戴维逊(Davisson)和革末(Germer)的电子衍射实验证实了 de Broglie 的假设。电子的 de Broglie 波长为

$$\lambda = \frac{h}{P} = \frac{h}{mv} \quad (1-8)$$

电子运动速度由加速电子运动的电场势 V 所决定, 即 $T = \frac{1}{2}mv^2 = eV$, 故

$$\lambda = \frac{h}{\sqrt{2meV}} \quad (1-9)$$

Davisson 等估算了电子的运动速度, 若将电子加压到 1000V, 电子波长应为几十皮米, 这样尺寸的波长一般光栅无法检验出它的波动性。他们联想到这一尺寸恰是晶体中原子间距, 所以选择了金属 Ni 的单晶为衍射光栅。将电子束加速到一定速度去轰击金属 Ni 的单晶靶, 观察到完全类似 X 射线的衍射图案, 证实了电子确实具有波动性。图 1-5 为电子射线通过 CsI 薄膜时的衍射图案, 一系列的同心圆称为衍射。

这是首次用实验证实 de Broglie 物质波的存在。后来采用中子、质子、氢原子等各种粒子流, 都观察到了衍射现象。证明了不仅光子具有波粒二象性, 微观世界里的所有微粒都具有波粒二象性, 波粒二象性是微观粒子的一种基本属性。微观粒子既没有明确的外形, 又没有确定的轨道, 我们得不到一个粒子、一个粒子的衍射图案, 我们只能用大量的微粒流做衍射实验。实验开始时, 只能观察到照相底片上一个个点, 未形成衍射图案, 待到足够长时间, 通过粒子数目足够多时, 照片才能显出衍射图案, 显示出波动性来。可见微观粒子的波动性是一种统计行为。

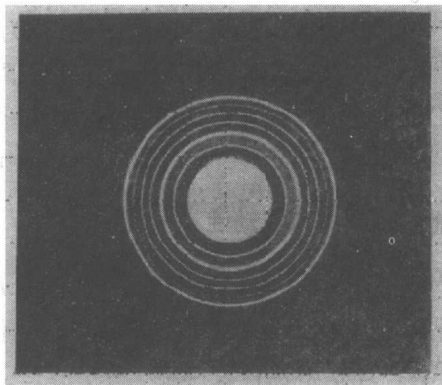


图 1-5 电子衍射图

微粒物质波与宏观的机械波(水波、声波)不同, 机械波是介质质点的振动产生的; 与电磁波也不同, 电磁波是电场与磁场的振动在空间的传播。微粒物质波, 只能反映微粒出现概率, 故也称为概率波。为了证实电子、中子等微粒具有物质波而设计的电子衍射、中子衍射实验, 后来发展为测定晶态、非晶态等物质结构的有力工具, 成为 X 射线衍射实验的补充。

1.1.4 “测不准”关系

1. 宏观世界与微观世界的区别

在经典物理学中宏观物体的位置和动量是可以同时准确测定的。在微观世界